

## 論 文

# 영역 라벨링에 의한 경계선 세그먼트의 데이터 구조 추출

正會員 崔 煥 媛\* 正會員 鄭 光 雄\*\* 正會員 金 斗 泳\*\*

## Data Structure Extraction of Boundary Segments by Region Labeling

Hwan Eon CHOI\*, Kwang Woong JEONG\*\*, Doo Young KIM\*\* *Regular Members*

### 要 約

화상 처리는 전처리, 중간 표현, 최종 인식의 3단계로 구분하여 처리할 수 있다. 본 논문에서는 전 처리 단계에서 구해진 예지로 둘러싸인 폐영역들로부터 라벨링 기법으로 화상을 구분된 영역의 집합으로 표현한 후 각 영역을 둘러싸고 있는 외주 경계와 대주 경계를 세그먼트화하여 각 세그먼트들에 대한 영역의 정보, 세그먼트 번호, 시작점과 끝점의 정보, 사용된 직선과 선의 종류 및 이들의 개수 정보 리스트에 대한 데이터 구조를 만드는 중간 표현 단계에 대한 알고리즘을 제안하고, 구해진 데이터 구조를 이용 화상을 세그먼트화한 결과 오차가 한 화소 범위내의 신뢰성이 있음을 확인하였다.

### ABSTRACT

This paper presents algorithms which are region labeling and data structure of a boundary segmentation as image intermediate description process. In this method, the algorithms are region labeling, boundary segmentation, line and curve fitting and extracting data structure of each segment. As a result, a data structure of image is described by a set of region number, segment number, line or curve, starting point and end point of each segment and coefficient of line or curve. These data structures would serve for higher level processing as object recognition. For example, we will use this data structure to solve the correspondence problem of stereoscopic image information. And we verified these algorithms through the image reconstruction of data structure.

### I. 서 론

3차원 물체 인식 문제를 고찰하기 위한 과정은 크게 나누어 전처리 단계, 중간 표현 단계, 최종 인식 단계의 3가지 단계로 구분하여 처리할 수 있다.

전처리 단계는 입력된 화상을 배경과 대상으로 분

리한 후 분리된 대상의 각 영역에 존재하는 의미 있는 예지들을 검출하고 세그먼트화한 후 물연 속인 예지를 연결시켜 화상의 인수된 예지를 검출하는 단계이다.

중간 표현 단계는 전처리 단계에서 구해진 예지로 둘러싸인 각 폐영역들로부터 화상을 구분된 영역의 집합으로 표현하고, 이를 각 영역을 둘러싸고 있는 외주 및 대주 경계를 세그먼트화하여 각 세그먼트들의 시작점과 끝점의 정보, 사용된 직선, 곡선의 종류 및 개수들의 정보에 관한 데이터 구조를 만드는 단계

\*東萊女子專門大學 電子計算科

\*\*東亞大學校 電子工程科

Dept. of Electronic Engineering, DONG-A University  
論文番號 : 92 - 9 (接受1991. 10. 28)

이다.

마지막 단계는 중간 표현 단계에서 만들어진 데이터 구조를 이용하여 3차원 물체의 인식에 요구되는 문제를 해결하는 단계이다.

일반적으로 전처리 단계에서 구해진 폐영역들을 구분된 영역의 집합으로 표현하기 위해 라벨링 기법을 많이 이용하고 있다.

라벨링 처리란 화상중에 산재하는 복수개의 영역(대상물)을 분리하는 기법으로 그 용용 범위가 매우 넓다.

지금까지 라벨링 처리 기법에 대해 많은 연구가 진행되어 오고 있으며 특히 하드웨어 구현을 위한 고속화를 목표로 연구가 활발하게 진행되고 있다.<sup>[1][2]</sup> 라벨링 기법에는 크게 랜덤 주사형과 라스트 주사형의 알고리즘으로 대별할 수 있다.<sup>[3][4]</sup> 랜덤 주사형은 단순적으로 고속화를 위한 하드웨어화에는 무직당하다. 일반적으로 영역 라벨링을 위한 알고리즘으로 라스트 주사형이 보편적으로 사용되고 있다.

종래의 라스트 주사형의 라벨링 알고리즘에서는 화상에 대해서 임정적으로 부여한 라벨을 그 접속 관계에 기초를 두고 분류 처리함으로써 고속화에 큰 장애 요인이 되어왔다. 그래서 이를 개선한 2회 주사 + $\alpha$ 의 라스트 주사형 알고리즘이 많이 사용되고 있다.<sup>[5]</sup>

본 논문에서 우리는 전처리 단계로부터 구해진 폐영역들을 구분하기 위해 각 라인의 연결성을 가로하기 위한 메모리가 필요치 않으면서 각 영역에 대한 외부 경계는 물론, 내부 경계의 존재여부도 알 수 있는 상집을 가진 1회주사+ $\alpha$ 의 라스트 주사형 고속 알고리즘을 이용하여 영역을 라벨링하였다.<sup>[6][7]</sup> 각 영역의 외측 및 내측 경계에 대한 정보는 세그먼트로 추출하기 위해 경계선을 주작하면서 직선 또는 부선의 집합으로 세그먼트하여, 각 세그먼트가 포함된 영역의 외측 및 내측 경계를 영역 번호, 세그먼트 번호, 시작과 끝점 정보, 적용된 색상 또는 박신( $y=g(x)$ ,  $x=f(y)$ )의 종류 및 이들의 계수에 대한 정보를 갖는 각 세그먼트의 데이터 구조를 만드는 화상의 중간 표현 기법을 제안한다.

특히, 본 논문에서는 비직선적 성분의 세그먼트에는 곡선적으로 분사화시키는 방법을 도입하여 데이터 구조를 재구성이 가능한 최소 정보로 압축시켰고 이렇게 하여 구성된 데이터 구조의 세그먼트 리스트 정보를 이용하여 화상의 재구성을 통해 그 신뢰성을 확인하고자 한다.

이와 같은 데이터 구조는 원기 위해 본 논문에서는 화상의 분할, 영역의 라벨링, 경계의 분할, 직선 또는 부선의 적용, 화상의 새구성등의 순서로 진행했다.

또, 구해진 데이터 구조는 3차원 물체의 인식을<sup>[8]</sup> 위한 중간 표현법으로써 아주 유용하라 생각되어 앞으로 스텤테레오 영상에서 일치성의 문제 해결을 위해서 좌우 두 영상에 이 데이터 구조를 이용하여 검토해 볼 예정이다.

## II. 영역 라벨링 알고리즘

### 1. 화상의 애지 검출

전처리 단계로서 화상의 분할 방법에는 여러 가지 방법이 연구 발표되어 활용되고 있으며 각 방법에 따라 장단점이 있으나 본 논문에서는 가장 일반적인 방법인 일자미분방식에 따른 Sobel 방법으로 애지를 구한 후 Skeleton 방법으로 8-방향 세선화 과정을 거쳐 남은 애지를 중에서 애지값의 세기가 작은 점들을 Threshold 처리 방법으로 소거했다. 이렇게 하여 처리된 결과의 남은 강한 애지들은 모두 인속은 아니므로 강한 애지의 간접을 양상하여 영역을 둘러싸는 경계를 구했다. 이상의 전처리 과정을 통해 구해진 애지들로 둘러싸인 화상을 그림 1에 나타내었다. 만약 3차원 물체 해석의 처리 정보등을 구하기 위한 전처리 단계라면 세선화 과정등을 거치는 동안 화소가 위치의 위치에서 이동되어 지지 않도록 주의하여야 한다.

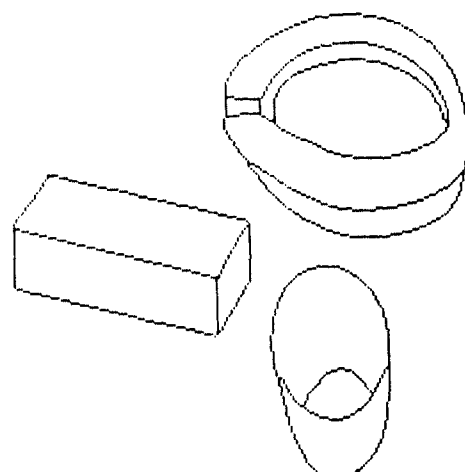


그림 1. 애지 화상

Fig. 1. Preprocessing Image.

## 2. 외부 영역과 내부 영역의 구분

진짜리 과정을 통해 구해간 각 해부면 영역들을 구분하기 위해 각 영역에 서로 다른 라벨을 붙여는 과정의 개요가 그림 2에서 그림 1과 같다. 그림 2는 레이블으로 표기되었던 예가 화성이다. 배경과 예각은 해외한 대부분 영역은 O로, 후 예각으로 놀라워진 해부면은 예각과 해외한 모든 대부분 영역에 걸친 라벨(B1 사용)을 재울 때 동시에 영역과 영역을 구분하기 위해 예각 부분에 배경과 같은 값(O)을 부여된다. 걸친 라벨을 붙이는 과정은 현재의 경계선 주석 간접 방식이 1명 항아리인 (G+1)의 위치의 화소에 걸친 라벨 B1을 부여하면서 8-방향으로 확장 가능한 경계선을 주석한다. 주석값으로 표기되어 있던 당시 확장각에 부여된 B1 라벨은 주석하면서 다음 화소에 복제해 같다. B1을 세우면서 그값은 시작점 주변 화소의 원도우가 OEB이고 걸친 주변 화소의 원도우가 BEO이며, 라벨은 주석시에 예각 E를 뿐만 아니라 E를 O로 한다. 이렇게 하여 차리한 값은 각 55% 3이다.

### 3. 요약의 관점

그럼 B에서 B로 채워진 각 영역을 구분하기 위해  
서로 다른 번호를 부여하고 O으로 자리한 원래의 해  
석 부분을 다시 원쪽 영어의 번호로 차운다. 영역  
라벨링을 완성한 것이 그림 4이다. 이와 같은 차리  
장을 한 영역에 대해 양색어 설명한 것이 그림 5이다.  
이 그림에서는 영역 대부분에 캐릭터가 존재하지 않는  
경우에 예외다.

그럼 5a와 같이 예사로 물리학적인 원인에 대해서는 B, 예사와 화상의 외주를 O으로 한다. 그림 5a에서부터 그림 5e까지는 영역을 과별명제로 해설을 나타냈다.

먼저, 라벨의 최대치를 N=0로 초기화 하고 헤설의 일행째부터 리스트 주사를 개시하면서 주사를 이 O 또는 이미 라밸링 되어있는 경우는 그만 지나간다. B를 만나면 그림 7과 같은 원동을에 따라 3가지로 분류하고 다음에 같은 순서로 라밸을 분이된다.

### 3.1 외측 경계 추적

그림 5a와 같은 주사점(별호)은 라멘링 미리있지 않은 영어의 최소점으로 이 점에서  $N \equiv N+1$ 하고 이 점을 최초의 주사점으로 하여 영어의 확장 경계를 4-방향으로 수화점 주석하면서 라멘링 한다.这时候  
작점의 남색점으로부터 현재의 남색점으로 진행 방  
향이 4이면 다음 남색점은  $i+1 \pmod{4}$ 의 번호으로

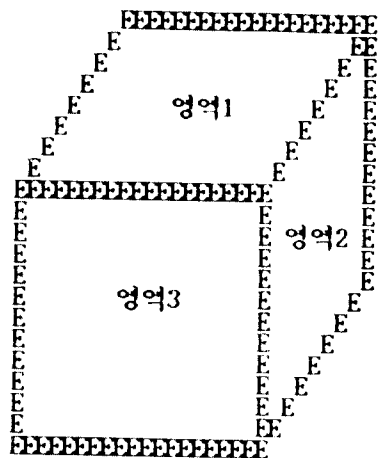
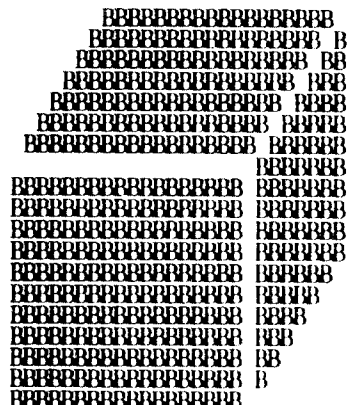


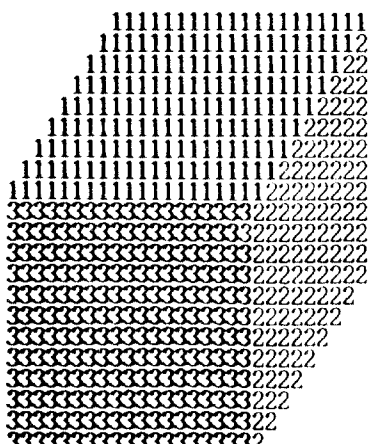
그림 2. 회장의 선주 제도

Fig. 2. Image Boundary Pattern.



243. 11. 1994

Fig. 3. Filled Bin Pattern



#### 1124. 生活與思想

Fig. 4. Result of target labeling

000000000000 000000000000 000 <u>B</u> BBB BBBB000 00BBB BBB BBBB00 00BB00000BB00 00BB0B BBB0BB00 00BB0B BBB0BB00 00BB0B BBB0BB00 00BBB BBB BBBB00 000BBB BBBB000 000000000000 000000000000	a)Boundary Tracking
000000000000 000000000000 000000000000 000000000000 00N <u>B</u> BBB BBBB00 00NNNNNNN00 0N <u>B</u> BBB BBBB00 0NNNNNNNN00 0N <u>B</u> 00000BB0 0NN0000 <u>B</u> BB0 0N <u>B</u> 0B BBBB00 0NB0BBB0BBB0 0N <u>B</u> 0B BBBB00 0NB0BBB0BBB0 0N <u>B</u> 0B BBBB00 0NB0BBB0BBB0 0N <u>B</u> BBB BBBB00 0NB0BBB0BBB0 00N <u>B</u> BBB BBBB00 00NB0BBB0BBB0 000000000000 000000000000 000000000000 000000000000	b)Raster Scan
000000000000 000000000000 000000000000 000000000000 00NNNNNNN00 00NNNNNNN00 0NNNNNNNN00 0NNNNNNNN00 0NN0000 <u>N</u> 0 0NN0000NN0 0NB <u>B</u> 0NBNB0 0NN0NNNNN0 0NB <u>B</u> 0NBNB0 0NN0NNNNN0 0NB <u>B</u> 0NBNB0 0NN0NNNNN0 0NB <u>B</u> BBB BBBB0 0NNNNNNNN0 00N <u>B</u> BBB BBBB0 00NNNNNNN00 000000000000 000000000000 000000000000 000000000000	c)Inner Boundary Tracking
000000000000 000000000000 000000000000 000000000000 000000000000 000000000000 000000000000 000000000000 000000000000 000000000000 000000000000 000000000000	d)Raster Scan
000000000000 000000000000 000000000000 000000000000 000000000000 000000000000 000000000000 000000000000 000000000000 000000000000 000000000000 000000000000	e)Labeling Pattern

그림 5. 영역 라벨링 과정의 예  
Fig. 5. Example of Region Labeling.

부터 시계 방향으로 탐색하여 만나는 B 또는 N의 라벨을 갖는 점이 다음의 탐색점이 된다. 이때 탐색점에 라벨을 붙이는 조건은 그림 8과 같다. 이 조건은 외측 경계를 일주하여 최초의 탐색점에 되돌아 온 때

<table border="1"><tbody><tr><td></td><td>3</td><td></td></tr><tr><td>2</td><td>*</td><td>0</td></tr><tr><td></td><td>1</td><td></td></tr></tbody></table>		3		2	*	0		1		<table border="1"><tbody><tr><td>5</td><td>6</td><td>7</td></tr><tr><td>4</td><td>*</td><td>0</td></tr><tr><td>3</td><td>2</td><td>1</td></tr></tbody></table>	5	6	7	4	*	0	3	2	1
	3																		
2	*	0																	
	1																		
5	6	7																	
4	*	0																	
3	2	1																	
a)4-Direction	b)8-Direction																		

그림 6- 방향과 8- 방향 코드

Fig. 6. Direction Codes from the Current Point(\*) to the next Point.

까지 반복한다. 그림 5b.와 같은 경우 차례로 좌측의 애자(O)인 외측 경계상의 점은 라벨 N이 붙는다.

### 3.2 라스트 주사

그림 5b.와 같은 주사점은 영역 N(>O) 내의 점이고 그림 7b.와 같은 주사점은 영역 N(>O) 내의 점이다. 그림 5b.와 같은 주사점은 차례로 각 주사점의 B나 라벨 N으로 고쳐 붙인다. 그림 5b.로부터 그림 5c. 까지는 이 방법에 의해 라벨이 붙여진다.

### 3.3 내측경계 추적

그림 5c.와 같은 주사점은 영역 N(>O) 내의 내측 경계에 위치하는 내측 경계상의 점이다.(영역 N의 외측 경계상의 점이면 3.1에서 이미 라벨링 되었어야 한다.)

이 주사점을 시작점으로 하여 영역의 내·외 경계를 3.1에서와 같은 방법으로 추적하면서 라벨을 붙인다. 그림 5d.와 같은 경우 차례에 있는 내측 경계상의 점에만 라벨 N가 붙는다. 다음 다시 3.2의 라스트 주사를 하고나면 차운적으로 그림 5e.와 같이 1회의 라스트 주사로 화성내의 각 영역에 1로 부터 N(영역수)까지 번호를 붙일 수 있다. 그리고 임성 라벨 B를 붙이는 과정에서 없애버린 애자 부분의 정보를 다시 보상하여 주기위해 각 영역의 외측 및 내측의 경계 부분을 영역의 값이 작은 부분의 값으로 치환시켜 준다.

그러나 경계 주석 중에 그림 8에 보인 바와 같이 3 가지의 경우(×)에 라벨을 붙이지 않는 이유는 항상 라벨을 붙이도록 하면 영역의 내·외에 또다는 영역이 존재하거나 봇이 1인 부분이 존재하면 실제로는 같은 영역이면서 다른 라벨이 붙거나 내측경계를 알 수 없

는 경우가 발생하기 때문이다. 이상의 라벨링 과정 수행 중 경계선 주차를 하면서 동시에 각 예지점의 정보를 이용하여 다음 장의 세그먼트 과정을 위해 문가짐(예지의 수가 3 이상인 점)을 따라 찾아 놓는다.

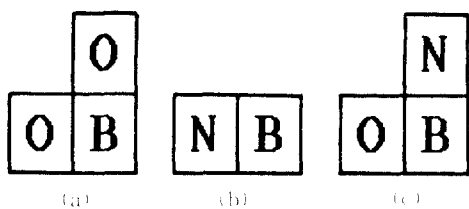


그림 7.4. 인접 영역의 주차와 라벨링 조건  
Fig. 7. Conditions of Labeling and Tracking for 4-connected Region.

a)Boundary Tracking b)Raster Scan.  
c)Inner Boundary Tracking.

		OUT				
		0	1	2	3	0 : Do Label
		*	*	*	*	* : Do Not Label
I	1	X	X	*	0	
N	2	0	X	*	0	IN : Direction from the previous point to the current point.
	3	0	0	*	0	OUT : Direction from the current point to the next point.

\* : Don't Care

IN : Direction from the previous point to the current point.

OUT : Direction from the current point to the next point.

그림 8. 경계선 라벨링의 조건(1. 인접)  
Fig. 8. Condition of Boundary Labeling  
(4 - Neighborhood).

### III. 경계선의 분할

2장에서 고찰한 각 영역의 경계선들은 세그먼트로 분할되어야하고 각 세그먼트들은 영역 번호, 세그먼트 번호, 시작과 끝점의 정보, 적용된 험수의 종류, 이 험수들의 기울기 등의 정보를 갖는 대이다. 그림은 영역의 문가짐을 찾아(최초의 문한점) 8-방향으로 경계선을 따라가면서 주변의 변화를 조사하여 각점의 값이 허용값을 벗어나는 화소를 문한점으로 선정한다. 문한점과 문한점 사이는 세그먼트가 되고 세그먼트의 시작과 끝점을 기준으로 각점 모든 2차 주변( $y-g(x), x-f(y)$ )으로 구사화하여 최소 차승오차

가 최소인 1차식 또는 2차식을 찾는다.

일반적인 세그먼트화 방법은 모든 세그먼트를 각각 영역의 정보로 구하는 것이 보통적인 방법이지만 본문에서는 원화상에 영역 부분이 존재할 경우 적절식법을 적용한 경우 세그먼트의 수가 급격히 증가하기 때문에 다음 단계의 처리를 위해 2차 주변을 적용하는 것이 원화상과의 견적도에도 큰 영향이 없으므로 영역 내의 효과가 있는 적절과 두 종류의 2차식으로 구사화를 시도하였다. 이 과정을 각 영역에 대해 개별적으로 수행하면 전체 영역의 예지에 대한 세그먼트화 속도의 대이다. 그림을 알 수 있다.

이상의 과정에 대한 전체 처리 과정의 흐름도가 그림 9이다.

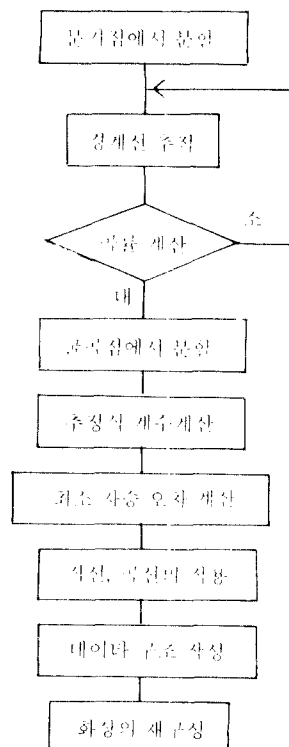
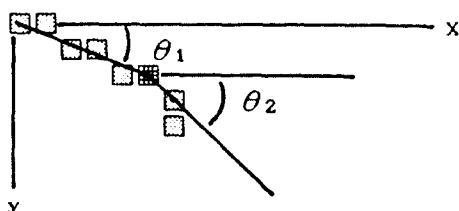


그림 9. 경계선에 세그먼트의 흐름도  
Fig. 9. Flowchart of Segmentation.

#### 1. 분할점의 선정

각 영역의 경계선을 세그먼트화하기 위해 세그먼트와 세그먼트 사이의 문한점을 찾아야 하며 이때 먼저 문가짐(예지의 문가수가 3이상인 점)을 찾아 문한하고 다음 주변의 변화가 일정값 이상인 점을 찾아

이 점을 문학점으로 정의했다. 본 논문에서는 먼저 2장의 라벨링 과정에서 미리 찾아 놓은 분기점을 문학점으로 하여 이를 문학점으로부터 경계선을 추적하며 일정 갯수의 화소(최소 화소수)에 대한 평균 방향각을 계산한 후 다음 화소의 진행 방향과의 차를 계산로 정의하여 곡률의 값이 일정치를 초과할 때 그 화소의 직진 화소를 세그먼트의 끝점으로하고 그 점을 새로운 세그먼트의 시작점이 되도록 하였다. 그림 10에 그림에 대한 정의를 도식화하였다. 이렇게 하여 전 경계선을 추적하여 문학점을 찾아 화상에 나타낸 것 이 그림 11이다.



$$\text{곡률}(k) = |\theta_2 - \theta_1|$$

그림 10. 곡률의 정의

Fig. 10. Definition of Curvature.

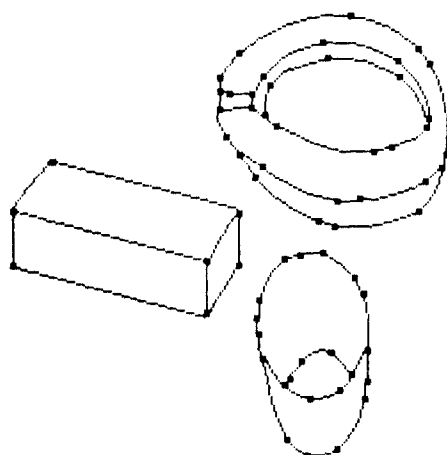


그림 11. 세그먼트된 화상

Fig. 11. Segmentation of Image.

## 2. 직선 및 곡선의 선택

앞에서 구해진 각 세그먼트의 시작점과 끝점을 연결하여 직선의 식  $y=ax+b$ 를 구한 후 실제 화소의

값과의 최소자승 오차를 구하여 오차가 일정치 이상 일때는 즉, 직선으로 구사화시키기에 너무 과선적인 경우 일반적인 방법으로는 경계선을 다시 문학하여 직선으로 구사화하는 방법을 반복 수행하는 것이 보편적이지만 본 논문에서는 세그먼트의 수를 줄이기 위해 직선  $y=ax+b$ 와 2차식  $y=ax^2+bx+c$ ,  $y=ax^3+bx^2+c$ 의 3가지 유형의 식에 최소 자승 오차를 적용하여 그 오차값이 가장 작은 수식을 세그먼트의 수식으로 선택하였다. 계수값을 구하는 과정은 다음과 같다.

추정식을,

$$\hat{Y}_i = b_0 + b_1 X_i + b_2 X_i^2 \quad (1)$$

여기서  $Y_i$ 는 실측값,  $\hat{Y}_i$ 는 추정치,  $E_i$ 는 오차라 하면,

$$E_i = Y_i - \hat{Y}_i \quad (2)$$

자승 오차의 합은 다음 식과 같이 주어진다.

$$\sum E_i^2 = \sum (Y_i - \hat{Y}_i)^2 = \sum (Y_i - b_0 - b_1 X_i - b_2 X_i^2)^2 \quad (3)$$

3) 식의 결과가 최소가 되는  $b_0$   $b_1$   $b_2$ 를 구하기 위해 각 계수에 대해 편미분을 취하면 다음식과 같은 관계식이 구해진다.

$$\sum Y_i = nb_0 + b_1 \sum X_i + b_2 \sum X_i^2 \quad (4)$$

$$\sum X_i Y_i = b_0 \sum X_i + b_1 \sum X_i^2 + b_2 \sum X_i^3 \quad (5)$$

$$\sum X_i^2 Y_i = b_0 \sum X_i^2 + b_1 \sum X_i^3 + b_2 \sum X_i^4 \quad (6)$$

여기서  $X_i$ ,  $Y_i$ 는 세그먼트의 화소 좌표값이다. 이 때  $x=ay^2+by+c$ 의 형태일 경우는 1)식에  $X_i$ 와  $Y_i$ 의 값만 바꾸어 놓으면 된다.

4), 5), 6)의 수식을  $Y = BX$  형태의 마트릭스로 표현하면 다음 식과 같다.

$$\begin{bmatrix} \sum Y_i \\ \sum X_i Y_i \\ \sum X_i^2 Y_i \end{bmatrix} = \begin{bmatrix} N, \sum X_i, \sum X_i^2 \\ \sum X_i, \sum X_i^2, \sum X_i^3 \\ \sum X_i^2, \sum X_i^3, \sum X_i^4 \end{bmatrix} \begin{bmatrix} b_0 \\ b_1 \\ b_2 \end{bmatrix} \quad (7)$$

7)식으로부터 계수  $b_0, b_1, b_2$ 를 구하기 위해 수식을  $B = X^T Y$  형태로 고쳐쓰면,

$$\begin{bmatrix} b_0 \\ b_1 \\ b_2 \end{bmatrix} = \begin{bmatrix} N, \sum X_i, \sum X_i^2 \\ \sum X_i, \sum X_i^2, \sum X_i^3 \\ \sum X_i^2, \sum X_i^3, \sum X_i^4 \end{bmatrix}^{-1} \begin{bmatrix} \sum Y \\ \sum X_i Y \\ \sum X_i^2 Y \end{bmatrix} \quad (8)$$

8)식으로부터 계수  $b_0, b_1, b_2$ 가 구해지고 다음 구해진 계수값에 의한 추정식과 실제 면밀도 화소의 차이값은 3)식에 대입하여 자승 오차의 합이 가장 작은식은 그 세그먼트의 적용할수식으로 선택된다.

이때 등 이상의 영역에 상존하는 경계선의 세그먼트번호, 시작점과 끝점의 좌표, 적용된 환수의 종류 및 계수들의 값을 구조작업 형태로 데이터화 한다. 이렇게하여 구해진 데이터는 구조의 일부를 그림 12에 나타내었다. 여기서 한수식의 형태는 각선은 0, 무선식  $y = g(x)$  형태는 1, 자승식  $x = f(y)$  형태는 2이다.

### 3. Data 구조

각 영역별 세그먼트에 대해 영역 번호, 세그먼트번호, 시작점과 끝점의 좌표, 적용된 환수의 종류 및 계수들의 값을 구조작업 형태로 데이터화 한다. 이렇게하여 구해진 데이터는 구조의 일부를 그림 12에 나타내었다. 여기서 한수식의 형태는 각선은 0, 무선식  $y = g(x)$  형태는 1, 자승식  $x = f(y)$  형태는 2이다.

Seg No.	Reg No.	암 수	Start Point	End Point	계 수			M.S.E.
					$b_2$	$b_1$	$b_0$	
75	0	2	202 22	210 62	-0.0084	0.8918	186.6653	0.0800
76	0	2	210 62	208 68	-0.0001	-0.2857	227.4285	0.0816
77	1	2	202 46	189 28	-0.0222	2.3088	141.9312	0.1480
78	1	1	189 28	157 20	0.0113	-3.6715	317.4661	0.0685
79	1	1	157 20	132 32	0.0158	-5.0026	415.0627	0.2171
80	1	2	132 32	130 45	0.0274	-2.2560	176.1186	0.0521
81	1	0	124 42	124 36	0.0000	0.0000	0.0000	0.0000
82	3	0	110 43	110 35	0.0000	0.0000	0.0000	0.0000
83	4	2	208 68	198 87	-0.0277	3.7881	78.8932	0.0605
84	4	1	198 87	161 94	-0.0082	2.7883	-140.5788	0.0578

그림 12. 세그먼트의 데이터 구조  
Fig. 12. Data Structure of Segments.

### IV. 실험 및 고찰

2, 3장에서 제안한 알고리즘의 타당성을 조사하기 위해 256\*256의 테스트 화상에 사용하여 제안한 알고리즘이 완전한 영역 구분과 라벨링, 모세그먼트화

스트의 데이터 구조화를 할 수 있음을 실제 실험을 통해 확인하였다.

실험에 사용한 테스트 화像是 그림 1에 예시한 애자 화상을 이용했다. 그림 13은 주어진 테스트 화상으로부터 구해진 데이터를 최소 화소수 대 세그먼트의 수를 기준값에 따른 변화를 나타낸 것이다. 그림 14는 최소 화소수 대 오차의 수를 기준값에 따른 변화를 나타낸 것이다.

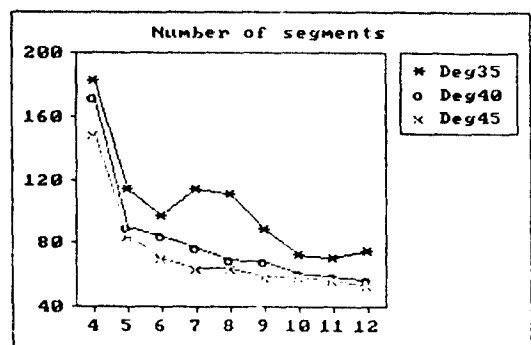


그림 13. 기준에 따른 최소 화소수 대 세그먼트 수

Fig. 13. Number of Segment vs. Number of Minimum Pixel According to Curvature.

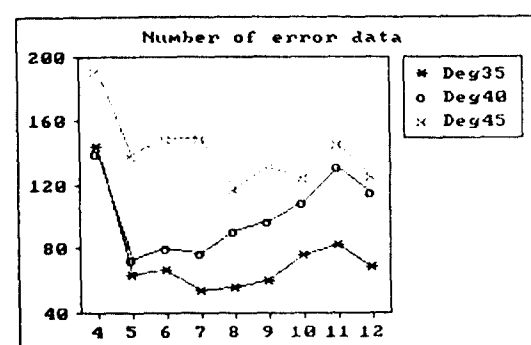


그림 14. 기준에 따른 최소 화소수 대 오차의 수

Fig. 14. Number of Error vs. Number of Minimum Pixel According to Curvature.

위의 두 실험 결과에서 알 수 있는 바와 같이 각 물의 임계치가 적으면 분할되는 세그먼트의 수가 증가하게되고, 물체의 임계치가 크면 세그먼트의 수는 감소하나 원화상과의 오차 화소의 수가 증가함을 알

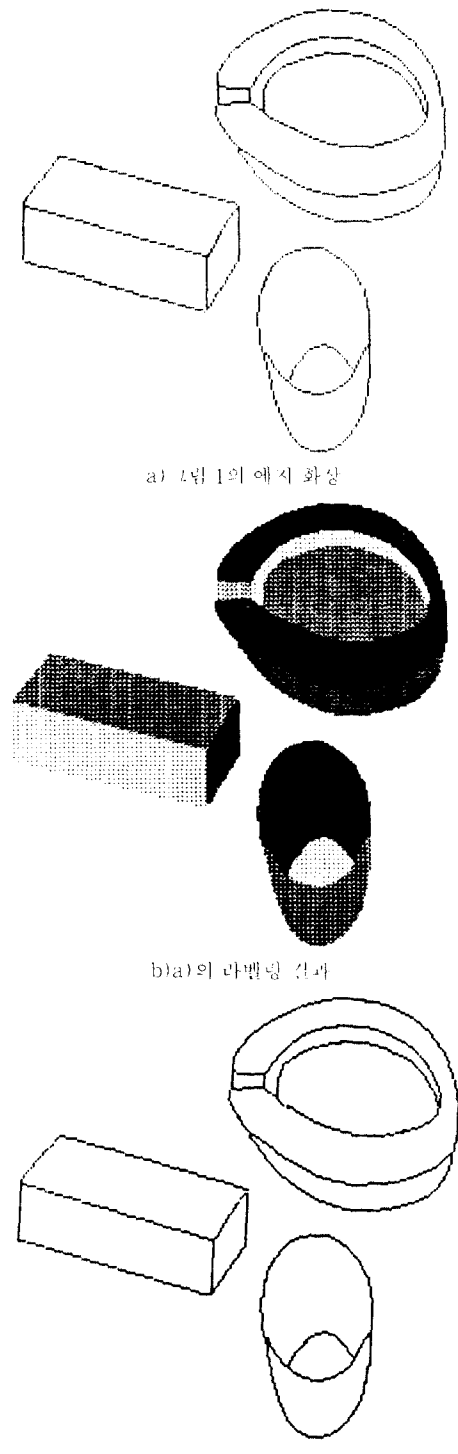


그림 15. 알고리즘의 시뮬레이션 결과  
Fig. 15. Simulation of Algorithm.

수 있고, 또 세그먼트당 최소화소의 수를 적게 잡으면 오차 화소수는 감소하지만 세그먼트의 수가 증가하고, 최소 화소의 수를 크게 두면 세그먼트의 수는 감소하지만 오차가 커짐은 알 수 있다. 여기서의 오차 화소는 재구성 화상과 원화상과 비교하여 최대 화소 이동 범위가 한계 이내로 의미한다. 그리고 최소화소 빙수를 너무 적게 잡거나 크게 잡게 되면 데이터로서 의미가 없으며 주변값 역시 너무 크거나 작으면 두개 이상의 화소 이동이 발생하여 신뢰도가 없었다.

이상의 실험 결과에서 알 수 있는 바와 같이 본 논문에서 정의하여 사용한 주변값 40도와 일정 갯수의 화소수 7개가 테스트 화상의 경우에서 세그먼트의 수를 줄이면서 원화상에 가장 균일하게 적용하는 적절한 선택값임을 알 수 있다. 그림 15b,는 2장의 알고리즘을 이용하여 라벨링 되어진 결과 화성이고 또 그림 15c,는 3장에서 제안한 방법으로 적용은 40도, 최소 화소수는 7개를 사용하여 구해진 그림 12의 데이터 구조를 이용화상을 재구성하여 본 결과의 그림으로 원화상에 균일하는 화상으로 부원점을 확인 할 수 있을 뿐만 아니라 그림에서 볼 수 있듯이 오차가 원 화상과 비교하여 한 개의 화소이내로 수렴함도 알 수 있다. 또, 위의 데이터 구조에 각 영역의 평균 밝기를 추가 한다면 영상의 암축 효과도 기대할 수 있을 것이다.

#### IV. 결 론

본 논문에서는 화상의 처리에서 영역의 라벨링 기법과 라벨링되어진 각 영역의 경계선을 추적하면서 경계선을 세그먼트화하여 하나의 의미있는 데이터 구조를 만드는 기법을 제안 하였다.

라벨링 기법에서는 일반적으로 이용되어온 2-라스토 주사 알고리즘 대신 각 라인의 연속성을 기록하기 위한 메모리가 필요치 않으면서 수행이 빠른 1-라스토 주사의 라벨링 알고리즘을 이용하였고 이렇게 하여 분리된 각 경계선을 직접 뿐만 아니라 비직선적인 영역에는 팔선으로 세그먼트화하여 세그먼트의 수를 감소시킨 화상의 재구성 가능한 최소의 정보만으로 이루어진 데이터 구조를 만드는 화상 처리의 중간 표현 단계의 처리기법을 제안했다.

우리는 본 논문의 알고리즘의 유효성을 입증하기 위해 테스트 화상을 사용하여 그 타당성을 실험을 통해 확인해 본 결과 추출된 데이터 구조를 이용하여 재구성된 화상을 원화상과 비교하여 한 화소이내의 오차 범위로 수렴함을 확인하였다. 이 데이터 구조

정보를 이용하여 3차원 물체 인식에 아주 유용하리라 생각되어 현재 스마트오, 캐우 등 영상의 인식성 문제 해결에 이용하기 위해 연구가 진행 중입니다.

### 참 고 문 헌

1. R.C.Gonzalez and P.Wintz, Digital Image Processing, Addison Wesley, 1987.
2. 송봉길, 최환인, 김두영, "초기화상 분할에 의한 스마트오 영상의 대응점 탐색," 한화통신학회 부산 강남지부 주제학술발표 학술집, pp.3~5, 1990년 11월.
3. J.J.Clark, "Authenticating Edges Produced by Zero Crossing Algorithms", IEEE Trans. on PAMI, Vol.11, No.1, Jan.1989.
4. V.Torre and T.A.Poggio, "On Edge Detection", IEEE Trans. on PAMI, Vol.8, No.2, pp. 147~163, Mar.1986.
5. V.Berzins, "Accuracy of Laplacian Edge Detectors", CVGIP, Vol.27, pp.195~210, 1984.
6. E.R.Davies and A.P.N.Plummer, "Thinning Algorithms : A Critique and A New Methodology", PR, Vol.14, pp.53~63, 1981.
7. C.L.Lawson, "Thinning Algorithms on Rectangular, Hexagonal, and Triangular Arrays", Comm. of ACM, Vol.15, No.9, pp.827~837, 1972.
8. H.Li, M.A.Levin and R.J.LeMaster, "Fast Hough Transform : A Hierarchical Approach", CVGIP, Vol.36, pp.139~161, 1986.
9. C.Kimme, D.Ballard and J.Sklansky, "Finding Circles by an Array of Accumulators", Comm. of ACM, Vol.18, No.2, pp.120~122, Feb.1975.
10. T.Risse, "Hough Transform for Line Recognition : Complexity of Evidence Accumulation and Cluster Detection", CVGIP, Vol.46, pp. 327~345, 1989.
11. D.H.Ballard and C.M.Brown, Computer Vision, Prentice-Hall, 1982.
12. T.Gotoh, Y.Ohta, M.Yoshida and Y.Shirai, "High speed algorithm for computer labeling," 일본 전자정밀학회 학술지 D-II, Vol. J72-D-II, No.2, pp.247~255, Feb.1989.
13. R.J.Schalkoff, Digital image processing and computer vision, Wiley & Sons, Inc, 1989.
14. A.Rosenfeld and A.C.Kak, Digital Picture Processing, Academic Press, Vol.1, 1982.
15. R.Lumia, L.Shapiro, and O.Zuniga, "A New Connected Component Algorithm for Virtual Memory Computers", CVGIP, Vol.22, pp. 287~300, 1983.
16. F.Tomita and H.Takahashi, "Fast region labeling with Boundary Tracking," ICIP, pp. 369~373, 1989.
17. 최환인, 정상웅, 박용기, 김두영, "영역 라벨링에 의한 화상의 초기 유효 알고리즘", 한화통신학회 하계종합학술 발표회 학술집, Vol.10, No.2, pp. 161~164, 1991년 8월.
18. H.Takahashi and F.Tomita, "Self Calibration of stereo cameras.", ICCV, pp.123~128, Jan, 1988.
19. H.Takahashi and F.Tomita, "Planarity constraint in stereo matching.", ICCV, pp. 446~449, Jun, 1988.



**崔煥璽 (Hwan Eon CHOI)** 正會員  
1954年 5月 16日生  
1981年 2月 : 東亞大學校 電子工學  
科卒業(工學士)  
1983年 2月 : 東亞大學校 大學院  
電子工學科 卒業(工  
學碩士)  
1983年~1986年 : 三星電管(株)綜  
合研究所 主任研究  
員  
1991年 2月 : 東亞大學校 大學院 電子工學科 博士課程  
修了  
1986年 3月~現在 : 東萊女子專門大學 電子計算科 助教  
授  
※關心分野 : 畫像處理吳 컴퓨터비전



**鄭光雄 (Kwang Woong JEONG)**  
正會員 1961年 6月 7日生  
1990年 2月 : 東亞大學校 電子工學  
科(工學士)  
1992年 2月 : 東亞大學校 大學院  
電子工學科(工學 碩  
士)  
1992年 3月 : 東亞大學校 大學院  
電子工學科(博士課  
程)  
關心分野 : 信號處理, 畫像處理吳 컴퓨터비전



**金斗泳 (Doo Young KIM)** 正會員  
1947年 6月 13日生  
1972年 2月 : 釜山大學校 電子工學  
科(工學士)  
1975年 2月 : 釜山大學校 大學院  
電子工學科(工學碩  
士)  
1983年 9月 : 慶北大學校 大學院  
電子工學科(博士 課  
程 修了)  
1977年 3月~現在 : 東亞大學校 電子工學科 副教授  
※關心分野 : 디지털信號處理, 畫像處理吳 컴퓨터비전

